

ظرفیت خمی نهایی تیروورقهای فولادی تحت اثر بروز ترک در جوش بال به جان

فرهاد فرهودی محمدزاده

کارشناس ارشد مهندسی عمران- سازه

f_abi2004@yahoo.com

حسین شوکتی

دانشیار گروه مهندسی عمران، دانشکده فنی دانشگاه ارومیه

h.showkati@urmia.ac.ir

نوروز سیفی

کارشناس ارشد مهندسی عمران- سازه

noroz_seifi@yahoo.com

چکیده:

تیروورقهای، به عنوان اعضای مهم سازه ای برای پوشش دهانه های بزرگ خمی، مورد استفاده قرار گرفته و از جوشکاری دو ورق بال و یک ورق جان بهمراه تعدادی سخت کننده قائم و یا طولی برای جلوگیری از کمانش ورق جان ساخته می شوند. به دلیل اهمیت زیاد جوش بال به جان در رفتار سازه ای تیروورقهای و امکان بوجود آمدن ترک در حین جوشکاری و یا پس از آن در اثر عوامل فیزیکی یا محیطی . در این مقاله به بررسی تاثیر ترک جوش بال به جان تیروورقهای، در ظرفیت خمی نهایی آنها پرداخته شده است. بدین منظور مدل‌های مختلف تحلیلی با استفاده از نرم افزار المان محدود LUSAS ساخته شده و مورد تحلیل قرار گرفتند. در طراحی این مدل‌ها تمامی ضوابط آینه نامه مدنون AISC-LRFD، رعایت شده و اتصال بالها با جوش پیوسته و سراسری به جان تیروورق انجام شده است. برای مدل‌سازی تیروورق، از المان پوسته چهار ضلعی هشت گرهی استفاده شده و تحلیل آنها به روش غیر خطی هندسی و فیزیکی صورت گرفته است. برای حصول نتایج واقع بینانه تر، در قسمت میانی جان تیروورق یک ناکاملی اولیه ۱۰ میلیمتری در نظر گرفته شد. رفتار فیزیکی مصالح نیز به صورت غیرالاستیک چهار خطی فرض شده و از فولاد St40، با تنش تسلیم ۲۷۵۰ کیلوگرم برسانتیمتر مربع استفاده شد. بار واردہ به صورت گستردگی یکنواخت بر روی بال فوقانی اعمال شده و تکیه گاههای دو طرف تیر نیز مفصلی ثابت و متحرک مدل شد. با توجه به نتایج بدست آمده مشخص شد، وجود ترک در پانلهای بحرانی در این نوع تیروورقهای، حداقل می تواند ۱۸ درصد ظرفیت خمی نهایی را کاهش دهد.

کلید واژه ها :

تیروورق، جوش ، بال، جان، ترک، ظرفیت خمی نهایی

۱- مقدمه:

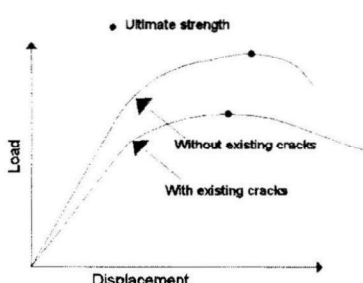
تحقیقات مزبور نشان داد که وجود ناکاملی اولیه در ورق جان، نسبت ابعادی تیوروق (a/h) و نسبت لاغری آن (π / h) از عوامل موثر در بوجود آمدن چنین ترکهایی هستند. در واقع با استفاده از ورقهایی با ناکاملی اولیه بسیار ناچیز و همچنین دقت در ساخت، حمل و مونتاژ این ورقها در ساخت تیوروق و محدود کردن نسبتهای لاغری و ابعادی، به سهولت می‌توان از پیدایش ترکها، تحت اثر پدیده Web breathing

در سال ۱۹۹۳ میلادی، تحقیقات گستردۀ ای، توسط آقایان Qkura Yen, Fisher تحت اثر برش، خمش و یا ترکیب آن دو صورت گرفت. در این تحقیقات مشخص شد که اکثر ترکهای بوجود آمده در جوش بال به جان تیوروقها از پنجه جوش گوشۀ روی جان، شروع می‌شوند و در تمام ضخامت جان گسترش می‌یابند و اگر محل ترک در ابتدا یا انتهای پانل جان باشد، سرعت رشد ترکها نسبت به حالتی که ترک جوش در وسط پانل جان بوجود آید، بیشتر می‌باشد.

و در نهایت خرابی سازه با کمانش بال فشاری و جان آغاز می‌شود. [۶] هم‌زمان با این تحقیقات Corcetti بررسیهایی را روی چهار تیوروق بزرگ مقیاس انجام داد. او نیز به این نتیجه رسید که ترکهای خستگی از پنجه جوش در روی جان تیوروق شروع می‌شوند. [۴]

در سال ۲۰۰۵ میلادی Joem kee paik , Y.V.Satish Jae Myung Lee Kumar آزمایشاتی را برای تعیین ظرفیت نهایی ورقهای ترک خورده تحت بارگذاری محوری فشاری و کشنشی انجام دادند و متوجه شدند که وجود ترکهای خستگی موجب کاهش مقاومت نهایی ورقهای فلزی می‌شود. به طوریکه طول ترک و ضخامت ورق نیز در این کاهش مقاومت تأثیر بسیاری دارد. در شکل ۱ نمودار نتایج این تحقیقات نشان داده شده است. [۵]

همچنین معلوم شد که اگر در یک پانلی که تحت اثر فشار قرار دارد ترکی بوجود بیاید، بسته شده و سپس کمانش می‌کند و در اثر تعییر شکلهای اولیه تعییر شکلهای مضاعفی بوجود آمده و بارگذاری خارج از صفحه به صورت موضعی ایجاد می‌گردد. در این تحقیق مشخص گردید با افزایش ضخامت ورقهایی که دارای ترک در لبه‌های پانلها هستند، مقدار خربی کاهش مقاومت افزایش می‌یابد یعنی هر قدر ضخامت ورق بیشتر باشد این ترکها در کاهش ظرفیت مقاومتی، تأثیر قابل توجهی دارند.



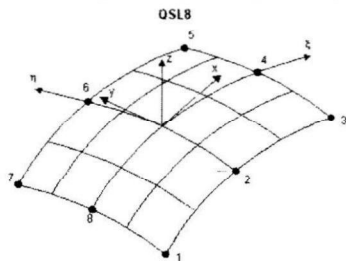
شکل ۱: نمودار بار-تعییرمکان در حالت ترک خورده و بدون ترک [۵]

امروزه با پیشرفت تکنولوژی، استفاده از سازه‌های بزرگ جهت افزایش بهره وری و خدمت رسانی، امری اجتناب ناپذیر می‌باشد. از آنجا که در این نوع سازه‌ها، اغلب دهانه‌ها بزرگ و بارهای وارده قابل توجه می‌باشند، یکی از راههای تامین مقطع مورد نیاز، استفاده از تیوروق است. تا سال ۱۹۸۱ میلادی، طراحی تیوروقها بر اساس کنترل کمانش ارجاعی در قطعات تشکیل شده از ورق، انجام می‌شد. به طوری که روابط حاکم در طراحی ورقها، بر اساس تئوری ارجاعی بر پایه تعییر شکلهای کوچک قرار می‌گیرد. با تحقیقات انجام شده، توسط آقای باسلر و سایر محققین مشخص شد، پس از این که تعییر شکلهای جانبی در اثر کمانش برپشی، در تیوروقها بوجود می‌آیند، در صفحه میانی ورق یکسری تنشهای کشنشی غشایی بوجود می‌آیند که تمایل به برگرداندن ورق به حالت پایدار را دارند. درواقع می‌توان گفت بدلیل تاثیر این تنشهای غشایی است که در ورقها کمانشهای ناگهانی مثل ستونها بوجود نمی‌آید و آنها حتی پس از کمانش، باز هم ظرفیت باربری زیادی را از خود نشان میدهند. بنابراین در آین نامه های جدید ضوابطی در نظر گرفته شد که در آن ظرفیت فراکمانشی را نیز مورد بحث و بررسی قراردادند. به این ترتیب که اگر تیوروقی به درستی طراحی شده باشد و دارای سخت کننده‌های قائم باشد، بعد از کمانش جان، تیوروق همانند یک خرپا عمل می‌نماید که در این حالت جان کمانش یافته مانند قطرهای کشنشی، و سخت کننده‌های قائم بعنوان اعضای فشاری خرپا عمل می‌کنند. [۲]

رفتار پیچیده تیوروقها و روشهای طراحی متفاوت آنها باعث گشته، تاکنون تحقیقات گسترده ای در ابعاد مختلف صورت گیرد. از جمله این موارد مهم و قابل تأمل، مطالعه و بررسی تاثیر ترکهای بوجود آمده در نواحی مختلف تیوروق، در رفتار خمشی و کمانشی آنها می‌باشد. ترک خودگی در تیوروقها معمولاً ناشی از پدیده خستگی، خودگی فلزات، اثرات اعوجاجی، وجود تنشهای زیاد و عدم رعایت استاندارهای لازم در جوشکاری قطعات آن، می‌باشد. باید توجه کرد که رفتار ترک، اعم از سرعت و جهت گسترش آن و عمر خستگی، به کیفیت جوش و تنشهای پس ماند حاصل از عمل جوشکاری و نورد ورقهای فولادی، محیط اطراف سازه از نظر رطوبت و خورنده بودن آن و نوع بارگذاری سازه بستگی دارد. در سالهای اخیر مطالعات زیادی در مورد دلایل پیدایش و نحوه گسترش ترک و تاثیر عوامل محیطی و همچنین ارزیابی عمر خستگی سازه‌های مهندسی، بویژه تیوروقهای پل صورت گرفته است.

در سال ۱۹۶۰ میلادی، آزمایشات متعددی درباره تیوروقهای لاغر با سخت کننده‌های قائم و یا طولی در آمریکا و ژاپن صورت گرفت. در اغلب این مطالعات بانلهای تیوروق تحت اثر برش، خمش و یا ترکیبی از این دو قرار داشت. نتایج حاصل از این آزمایشات نشان می‌دهد که نوع و محل ترکهای خستگی با تعییر جهت کمانش ورق جان در پانل، در طول مدت سیکلهای بارگذاری که به پدیده تناوب کمانشی جان (Web breathing) معروف است، ارتباط دارد.

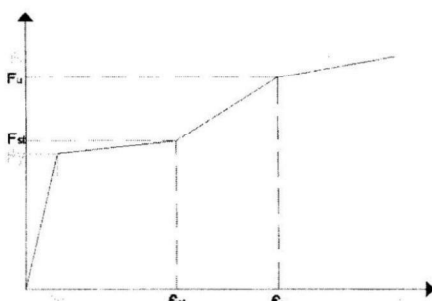
موجود در نرم افزار، دو نوع المان Thick shell و Thin shell وجود دارد. با مطالعات انجام شده از طریق راهنمای برنامه و همچنین با توجه به تحقیقات پیشین [۴]، برای مدلسازی تیبورق از المانهای Thin shell استفاده گردید. این نوع المان خود در برگیرنده چهار نوع المان سه، چهار، شش و هشت گرهی است که در بین آنها فقط المان هشت گرهی با عنوان QSL8، قابلیت انجام آنالیز غیر خطی هندسی را دارد و برای نشان دادن دقیق و واضحتر تغییر شکل‌های کمانشی موضعی و گسترش اثرات پلاستیسیته بسیار مناسب می‌باشد. بنابراین برای مدلسازی از این نوع المان در اشکال مربعی به ضلع ۵ سانتی‌متر استفاده شد. بطوریکه در این المان هشت گرهی، چهار گره در رئوس مربع و چهار گره نیز در وسط اضلاع آن واقع شده‌اند. درجات آزادی این نوع المان در شکل ۳، نشان داده شده است.



شکل ۳: درجات آزادی المان QSL8 در نرم افزار LUSAS

المان QSL8، توپوگرافی تحلیل پلاستیک را داشته و مناسب ترین المان برای مدلسازی تیبورق می‌باشد. سرعت تحلیل آن به دلیل هشت گرهی بودن پایین بوده اما دقت محاسباتی آن بالا می‌باشد. به علت وجود تغییر شکل‌های پلاستیک، از تحلیل غیر خطی مصالح در این تحقیق، استفاده شده است. برای تعریف فولاد ساختمانی از مصالح ایزوتروپ و فولاد نرم (Mild steel) با نسبت پواسون $\nu = 0.3$ و مدول الاستیسیته $E = 20 \times 10^9 \text{ kg/cm}^2$ ، استفاده شد. رفتار مصالح به صورت الاستو پلاستیک چهار خطی فرض شده است.

(شکل ۴)



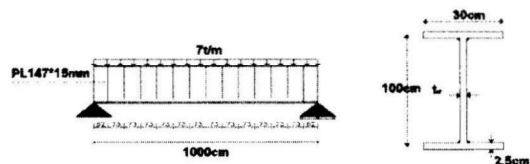
شکل ۴: نمودار تنش-کرنش مصالح

برای مصالح انتخابی مشخصات فولاد St40kis، در نظر گرفته شد. مقادیر تنشها و کرنشهای این نوع فولاد در حالات تسلیم و گسیختگی، مطابق جدول ۱ می‌باشند.

با توجه به تحقیقات پیشین، در این مقاله سعی شده است با مدل کردن ترک در جوش بال به جان تیبورقها، تغییرات بوجود آمده در ظرفیت خمی نهایی آنها مورد بررسی قرار گیرد.

۲- مدلسازی و آنالیز نمونه ها

در این مقاله برای آنالیز نمونه ها از نرم افزار المان محدود LUSAS استفاده شد. نرم افزار LUSAS دارای قابلیت المان محدود بالایی می‌باشد و از حیطه آنالیز ساده خطی و استاتیکی تا آنالیز پیچیده دینامیکی با تاریخچه زمانی غیر خطی را شامل می‌شود. ابتدا، یک تیرساده با بارها و شرایط تکیه گاهی نشان داده شده در شکل ۲، با استفاده از ضوابط آئین نامه LRFD، طراحی شده و مشخصات هندسی بدست آمده در نرم افزار LUSAS، مدلسازی گردید.



شکل ۲: مشخصات هندسی تیبورق مورد تحقیق

از آنجا که در عمل دستیابی به سازه‌ای بدون ناکاملی اولیه بسیار دشوار است و در تیبورقها عموماً ناکاملی‌هایی در ورق جان دیده می‌شود، برای بررسی دقیق تر و عملی تر رفتار تیبورقها، و نزدیک کردن نتایج حاصله به نتایج واقعی، در ورق جان یک ناکاملی اولیه به صورت نیم موج سینوسی در جهت طول و ارتفاع پانل در مدلها ایجاد شد. حداقل مقدار این ناکاملی در حدود یک هزارم طول دهانه (یعنی ۱ سانتی‌متر) در وسط پانل در نظر گرفته شد. برای ایجاد مدل جان با ناکاملی اولیه، از معادله (۱)، که یک مدل سینوسی است استفاده گردید.

$$X = \delta \times \sin\left(\frac{\pi y}{h}\right) \sin\left(\frac{\pi z}{a}\right) \quad (1)$$

در این رابطه a طول یک پانل و h ارتفاع پانل و δ نشان دهنده خیز ماکزیمم در وسط پانل می‌باشد. در این معادله محور y محور قائم و محور z محور طولی تیرساده شیان ذکر است و رقهای بال و سخت کننده‌ها در ساخت مدلها بدون ناکاملی اولیه فرض شدند.

برای مدلسازی ترک جوش بال به جان تیبورقها با توجه به تحقیقات قبلی صورت گرفته [۱]، از ایده جداسازی المانهای بال و جان تیبورق در طولهای مورد نظر استفاده شده و برای مدلسازی ناحیه جوش بال به جان به صورت ورقهایی به عرض ۱ سانتی‌متر و به ضخامت ورق جان، در نظر گرفته شد.

از آنجا که در تیبورقها، از صفحات فلزی استفاده می‌شود، با توجه به انواع المانهای موجود در نرم افزار، استفاده از گروه المان Shell، بسیار مناسب و صحیح می‌باشد. در گروه المان

فصلنامه علمی- تخصصی عمران

اساس معادلات مربوط به حالت تغییر شکل یافته حالت قبل استوار هستند.

در این تحقیق برای انجام محاسبات غیر خطی از سیستم مختصات کلی استفاده گردید. همچین برای تبدیل تحلیل بار ثابت به روش طول کمان (Current stiffness parameter value) از پارامتر سختی موجود (α) استفاده شد. بعد از تنظیم این پارامترها برای انجام محاسبات غیر خطی، مدلها مورد آنالیز قرار گرفتند. از آنجا که در مدلها از المانهای ریز مربوعی هشت گرهی استفاده شده بود، مدت زمان آنالیز هر کدام مدلها بسیار طولانی بود و بین ۳۳ تا ۲۸ ساعت طول کشید.

۳- معرفی نمونه ها

در این مقاله برای بررسی اثر ترک جوش بال به جان تیپورقهای در ظرفیت خمسی نهایی آنها و امکان استنتاجهای مناسب، متغیرهایی برای موضوع مورد بحث در نظر گرفته شد، که عبارتند از :

طول ترک

با فرض اینکه ترکهای بوجود آمده، تحت اثر عوامل مختلف ایجاد شده و رشد کرده اند و سپس رشد آنها کنترل شده است. ترکها در دو طول ۱۰ و ۳۰ سانتیمتری در محل جوش بال به جان تیپورقهای ایجاد شدند.

موقعیت ترک:

ترکها در چهار موقعیت متفاوت در جوش بال فشاری به جان تیپورق، در پانلهای دوم (برتکیه گاه) و پانلهای سوم و پنجم و هشتم (وسط تیر) ایجاد شدند. لازم به ذکر است شماره گذاری پانلهای از تکیه گاه سمت چپ تیر مدلسازی شده در نرم افزار انجام شده است. همچنین برای مقایسه تأثیر ترک بوجود آمده در جوش بال کششی به جان با ترکهای بوجود آمده در جوش بال فشاری، ترکها در طولهای مختلف در جوش بال کششی به جان، در پانل سوم تیپورق ایجاد شده و مورد مطالعه قرار گرفتند.

نسبت لاغری تیپورق (L/R):

در این تحقیق تیپورقهای با دو نسبت لاغری ۱۲۵ و ۲۵۰، مورد مطالعه قرار گرفته اند. برای تعیین نسبت لاغری تیپورقهای، ضخامت جان آنها تغییر داده شد. به طوریکه در نمونه های با نسبت لاغری ۱۲۵، ضخامت جان ۴ میلیمتر و در نمونه های با نسبت لاغری ۲۵۰، ضخامت جان ۸ میلیمتر در نظر گرفته شدند.

برای نامگذاری نمونه های دارای ترک در جوش بال به جان آنها از فرم کلی $G_{-a(t \text{ or } b)n}$ استفاده گردید. در این فرم کلی G نسبت لاغری، a طول ترک و n شماره پانلی است که ترک در آن بوجود آمده است. اگر ترک در جوش بال کششی به جان، ایجاد شده باشد از حرف b و اگر در جوش بال فشاری به جان ایجاد شود از حرف a استفاده می شود.

جدول ۱: مقادیر تنش و کرنش فولاد St ۴۰.kis [۲]

کرنش	تنش (مگا پاسکال)	تنش (F _y)
۰/۰۰۱۳۱۳	۲۷۵/۸	تنش تسلیه (F _{st})
۰/۰۱۰۵۹	۲۸۵/۰۷۳	تنش سخت شوندگی (F _{sl})
۰/۰۵۷۸۶	۴۴۸/۱۷۵	تنش نهایی (F _u)
۰/۰۹۲۳۳	۴۸۲/۶۵	تنش گسختگی (F _f)

از آنجا که استفاده از معیار فون میزس در آنالیز مدلها بیکاره دارای مصالح شکل پذیر، با کرنشهای حجمی کمتری هستند، بسیار مناسب می باشد و امکان استفاده از گامهای بزرگ افزایش بار به همراه همگرایی سریعتر را فراهم می آورد [۶]. در این تحقیق از این معیار استفاده گردید.

همانطور که در شکل ۲ نشان داده شده است برای مدلسازی نمونه ها از یک بار گسترده خطی یکنواخت که بر روی بال فوکانی اعمال میشود، استفاده شده و برای انجام آنالیز غیر خطی به طور یکنواخت بر مقدار این بار افزوده شد. در پانلهای انتهایی تیر نیز با استفاده از تعریف دو نوع تکیه گاه مفصلی ثابت و متحرک، تیپورقهای ساده با بار گسترده یکنواخت مدلسازی شدند.

شایان ذکر است در تمامی مدلها مورد تحلیل، برای جلوگیری از کمانش پیچشی بالها، آنها در محل اثر سخت کننده ها، هم در ناحیه فشاری و هم در ناحیه کششی، با استفاده از تکیه گاههای جانبی در طول تیر مهار شدند.

آنالیز غیر خطی شامل دو مقوله غیر خطی مصالح و غیر خطی هندسی است. آنالیز غیر خطی هندسی زمانی مورد توجه قرار می گیرد که تشکیل معادلات بر حسب حالت تغییر شکل نیافرته سازه، مناسب نباشد. برای انجام تحلیل غیر خطی باید در هر مرحله از بار گذاری مقدار افزایش بار را مشخص نمود، که این مقدار به صورت گام به گام به مقادیر قبلی بار افزوده میشود. این افزایش مرحله به مرحله با تعریف حلوود اولیه و مقدار افزایش در هر مرحله، به صورت اتوماتیک توسط نرم افزار انجام می شود.

در آنالیز غیر خطی المان محدود، از آنجا که شکل سازه در حالت تغییر شکل یافته مشخص نمی باشد، یک دستگاه مختصات لاغرانژی برای تعیین معادلات غیر خطی المان محدود، که بر حالت معادلات پیشین استوار است انتخاب میشود.

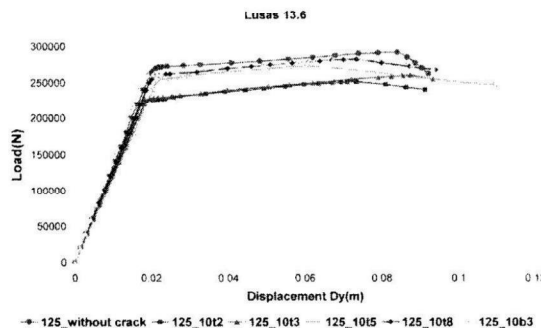
اغلب دو نوع مختصات مقایسه ای لاغرانژی وجود دارد :

۱- سیستم مختصات کلی (Total Lagrangian)

۲- سیستم مختصات بهنگام (Update Lagrangian) در سیستم مختصات کلی، تمامی معادلات در حالت تغییر شکل باقته موجود، براساس معادلات شکل اولیه سازه تعیین میشوند. اما در سیستم مختصات بهنگام معادلات در حالت تغییر شکل یافته موجود بر

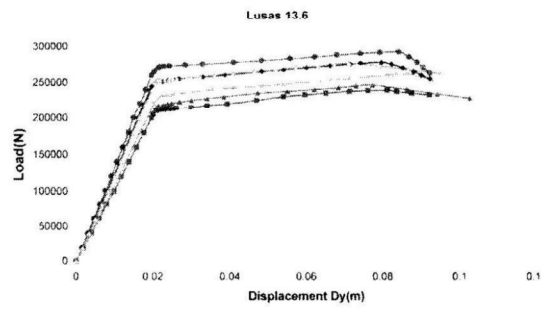
۱۲۵ در پانل دوم آن، حداکثر $13/8$ درصد ظرفیت خمی نهایی آنرا کاهش می‌دهد، حال آنکه وجود ترک 30 سانتیمتری در همین تیبوروق و در همان موقعیت باعث افت 18 درصدی ظرفیت خمی نهایی میشود. با توجه به نمودارهای بار- تغییر مکان قائم (اشکال ۷ و ۸) ملاحظه میشود که قسمت ابتدایی این نمودارها، به صورت خطی بوده و دارای شیب زیادی می‌باشد. با رسیدن به مرحله غیر خطی، با افزایش اندکی در مقدار نیرو، مقدار خیز به طور چشمگیری افزایش می‌یابد.

با توجه به این نمودارها مشخص میشود، چنانچه ترک در جوش بال کششی به جان تیبوروقها ایجاد شود، تاثیر بسیار کمی در افت ظرفیت خمی تیبوروق دارد. به طوریکه وجود ترک 30 سانتیمتری در جوش بال کششی به جان تیبوروق، زمانی که ترک در پانل سوم ایجاد شده است، باعث افت $74/3$ درصدی مقاومت خمی نهایی میشود. حال آنکه اگر همین طول ترک در همان پانل و در جوش بال فشاری به جان رخ دهد، $10/7$ درصد ظرفیت خمی نهایی تیبوروق را کاهش میدهد.



شکل ۷: نمودار بار- تغییر مکان قائم برای تیبورقهای دارای

ترک 10 CM



شکل ۸: نمودار بار- تغییر مکان قائم برای تیبورقهای دارای

ترک 30 CM

در شکل ۹ نمودار لنگر خمی نهایی نمونه‌ها، در برابر موقعیت ترک بوجود آمده (برحسب شماره پانل دارای ترک از لبه سمت چپ تیبور) رسم شده است. خط نقطه چین افقی، مربوط به نمونه‌های بدون ترک میباشد که محل تلاقی این خط و محور قائم، نشاندهنده لنگر خمی نهایی قابل تحمل برای این مدلها است. برای ترکهای بوجود

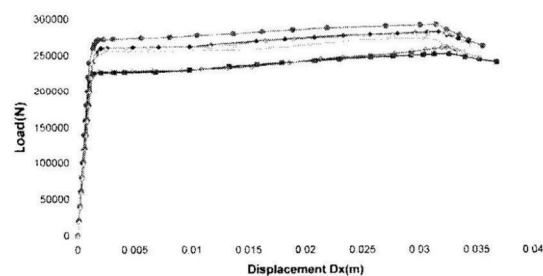
برای نامگذاری نمونه بدون ترک از فرم G_Without crack استفاده شد. برای مثال نمونه با عنوان $30_{-30} 15$ ، معرف تیبوروقی است با نسبت لاغری 125 ، که ترک 30 سانتیمتری در جوش بال فشاری به جان آن در پانل پنجم بوجود آمده است.

۴- اثر ترک در رفتار خمی تیبوروقها

بعد از انجام مدلسازی و تحلیل نمونه‌ها، نتایج حاصل را با رسم نمودارهای بار- تغییر مکان جانبی و بار- تغییر مکان قائم بررسی می‌کنیم.

در شکلهای ۵ و ۶، نمودار بار- تغییر مکان جانبی برای تیبورقهای با نسبت لاغری 125 ، و دارای ترکهای 10 و 30 سانتی متري در جوش بال به جانشان رسم شده است.

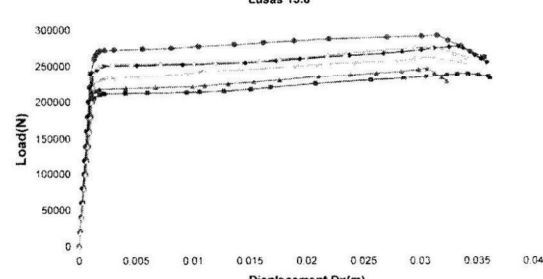
Lusas 13.6



شکل ۵: نمودار بار- تغییر مکان جانبی برای تیبورقهای دارای

ترک 10 CM

Lusas 13.6



شکل ۶: نمودار بار- تغییر مکان جانبی برای تیبورقهای دارای

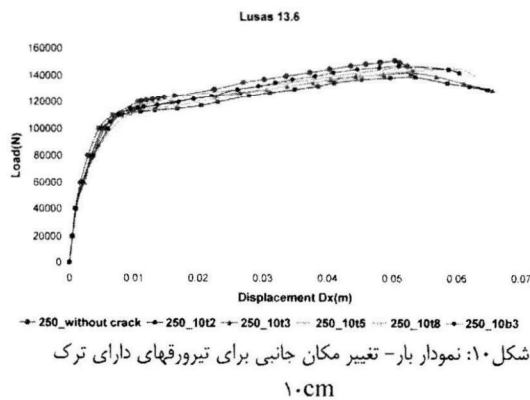
ترک 30 CM

در اشکال ۷ و ۸ نیز نمودار بار- تغییر مکان قائم برای همین مدلها، با در نظر گرفتن قدر مطابق تغییر مکان قائم (با توجه به جهت منفی خیزهای قائم در مختصات مورد استفاده در مدلسازی) رسم گردیده است. با استفاده از این نمودارها، از طریق به دست آوردن حداکثر بار نهایی نمونه‌ها، ماکریم لنگر خمی قابل تحمل برای آنها محاسبه می‌شود.

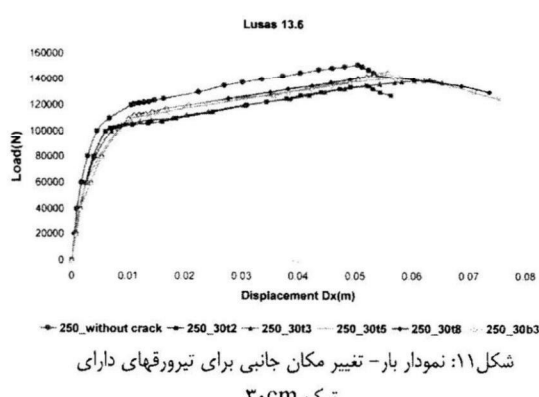
با توجه به این نمودارها می‌توان دریافت، افت ظرفیت خمی تیبور با طول ترک نسبت مستقیم دارد. بطوریکه برای مثال وجود ترک 10 سانتیمتری در جوش بال فشاری به جان تیبوروق با نسبت لاغری



ضوابط موجود در آیین نامه LRFD، جزو تیرورقهای با جان لاغر محسوب می‌شوند.



شکل ۱۰: نمودار بار- تغییر مکان جانبی برای تیرورقهای دارای ترک ۱۰ cm



شکل ۱۱: نمودار بار- تغییر مکان جانبی برای تیرورقهای دارای ترک ۳۰ cm

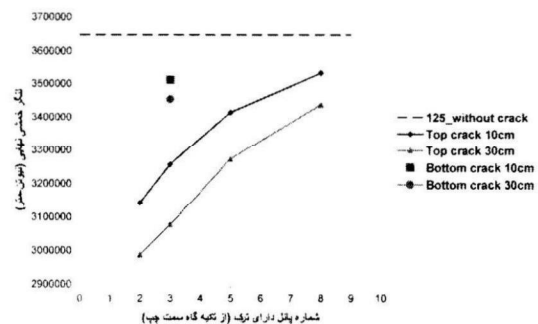
با توجه به شکلهای ۱۰ و ۱۱ مشاهده می‌شود که در تیرورقهای با نسبت لاغری ۲۵٪ نیز با افزایش طول ترک، افت ظرفیتنهای خمی افزایش می‌یابد. همچنین ملاحظه می‌گردد که با فاصله گرفتن موقعیت ترک از تکیه گاه، ضریب کاهش مقاومت نیز کاهش می‌یابد.

با مقایسه اشکال ۱۰ و ۱۱ با ۱۵ مشاهده می‌شود که در تیرورقهای غیر لاغر (با نسبت لاغری ۱۲۵٪)، بار کمانشی و فراکمانشی، تفاوت بسیار اندکی با هم دارند. بطوری که ظرفیت فراکمانشی نقش کمی در تأمین مقاومت تیرورق دارد. حال آنکه در تیرورقهای لاغر (با نسبت لاغری ۲۵٪) بارکمانشی قسمت اعظمی از مقاومت تیرورق را به خود اختصاص می‌دهد.

به عبارتی دیگر در تیرورقهای با نسبت لاغری ۲۵٪ (غیر لاغر) به دلیل اینکه نسبت سطح مقطع جان به سطح مقطع بال افزایش یافته است، نمی‌توان از همه ظرفیت فراکمانشی تیرورق بهره برد. به این ترتیب می‌توان نتیجه گرفت که با کاهش نسبت سطح مقطع جان به سطح مقطع بال، مقطع تیرورق اقتصادی تر خواهد بود.

با توجه به اشکال ۱۰ و ۱۱ مشاهده می‌شود که نمودار بار- تغییر مکان جانبی تا رسیدن به بار کمانشی خطی بوده و بعد از افزایش

آمده در جوش بال فشاری به جان، از کلمه top crack و برای ترکهای بوجود آمده در جوش بال کششی به جان نیز از کلمه bottom crack استفاده شده است.



شکل ۹: نمودار لنگر خمی نهایی در برابر موقعیت ترک برای تیرورقهای با نسبت لاغری ۱۲۵٪

با توجه به شکل ۹ ملاحظه میگردد که بحرانی ترین حالت برای هر سه گروه ترکهای ۱۰ و ۳۰ سانتیمتری، زمانی است که این ترکها در پانل دوم (بر تکیه گاه) ایجاد شوند. هر قدر که موقعیت ترک به سمت وسط تیر متمایل شود، تغییرات بوجود آمده در لنگر خمی نهایی، نسبت به نمونه بدون ترک کاهش می‌یابد. همچنین این نمودار به وضوح نشان می‌دهد که برای تیرورقهای با نسبت لاغری ۱۲۵٪، طول ترک در کاهش ظرفیت خمی نهایی تیرورق اهمیت بسزایی دارد و با افزایش طول ترک، تاثیر آن در کاهش مقاومت نهایی افزایش می‌یابد.

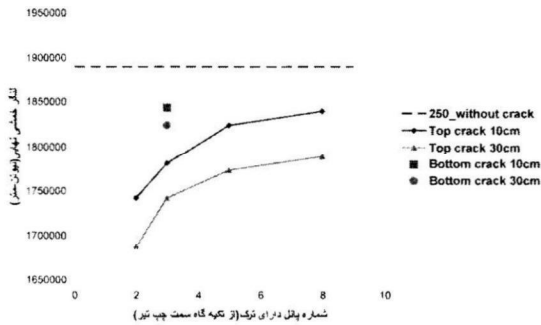
با توجه به این شکل مشخص می‌شود، ترک ۱۰ سانتی متری ایجاد شده در جوش بال به جان تیرورقها در بر تکیه گاه، میتواند لنگر خمی نهایی تیرورق را ۵۰۳۸۴۹ نیوتن - متر، کاهش دهد. حال آنکه ترک ۳۰ سانتی متری بوجود آمده در پانل پنجم همین نوع تیرورق باعث افت ۳۷۴۶۹۵ نیوتن - متری لنگر خمی نهایی تیرورق می‌شود. بنابراین می‌توان نتیجه گرفت که متغیر موقعیت ترک نسبت به، متغیر طول ترک بوجود آمده در جوش بال به جان تیرورقهای در کاهش ظرفیت خمی نهایی آنها موثرتر می‌باشد.

از آنجا که در هر طول ترک، فقط یک مدل برای ترک بوجود آمده در جوش بال کششی به جان تیرورق مورد تحلیل و آنالیز قرار گرفته است، بنابراین نتایج حاصل از این نمودارها در شکل ۹ به صورت یک نقطه نشان داده شده است. نکته دیگری که با توجه به این شکل، مشخص می‌شود، تأثیر کمتر ترکهای بوجود آمده در جوش بال کششی به جان تیرورق، نسبت به ترکهای ایجاد شده در جوش بال فشاری به جان آنها می‌باشد. به طوری که مشخص است اگر ترک در جوش بال کششی به جان تیرورق با نسبت لاغری ۱۲۵٪ بوجود آید، تیر لنگر خمی بیشتری را می‌تواند تحمل نماید.

در شکل ۱۰ و ۱۱ نمودار بار- تغییر مکان جانبی برای تیرورقهای با نسبت لاغری ۲۵٪ رسم شده است. این نوع تیرورقهای با توجه به

در شکل ۱۴ نمودار ظرفیت خمشی نهایی تیرورورق با نسبت لاغری ۲۵۰ در مقابل موقعیت ترک بوجود آمده در جوش بال به جان آن رسم شده است. با توجه به این شکل میتوان نتیجه گرفت که هر قدر ترک بوجود آمده به تکیه گاه نزدیکتر باشد، کاهش مقاومت خمشی بیشتر خواهد بود.

همچنین مشاهده می شود، با افزایش طول ترک، تاثیر آن در کاهش مقاومت خمشی نهایی تیرورورق افزایش می یابد. به طوری که نمودار مربوط به ترک ۳۰ سانتیمتری در قسمت تحتانی نمودار نیز مانند به ترک ۱۰ سانتی متری قرار گرفته است. در این نمودار نیز مانند نمودار مربوط به شکل ۹ مشاهده می شود که افت ظرفیت خمشی نهایی زمانی که ترک در جوش بال کششی به جان تیرورورق ایجاد شده است، نسبت به حالتی که ترک در جوش بال فشاری به جان آن بوجود آمده است، کمتر است.



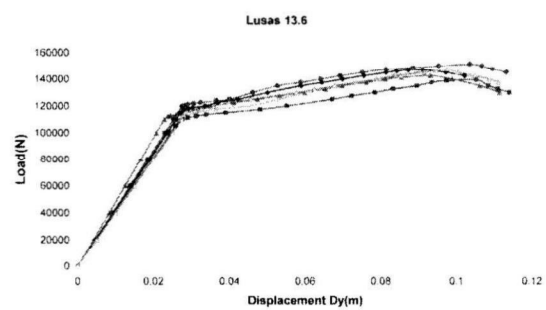
شکل ۱۴: نمودار لنگر خمشی نهایی در برابر موقعیت ترک برای تیرورورقهای ۲۵۰ با نسبت لاغری ۲۵۰

با مقایسه شکل‌های ۹ و ۱۴ ملاحظه می گردد با افزایش نسبت لاغری، شبی خطوط واصل نقاط برای طولهای مختلف ترک کاهش می یابد. این امر نشان‌دهنده آن است که در تیرورورقهای نهایی در تیرورورقها با نسبت لاغری بیشتر، تفاوت میزان کاهش لنگر خمشی نهایی در اثر وجود ترک در پانلهای مختلف کاهش می یابد.

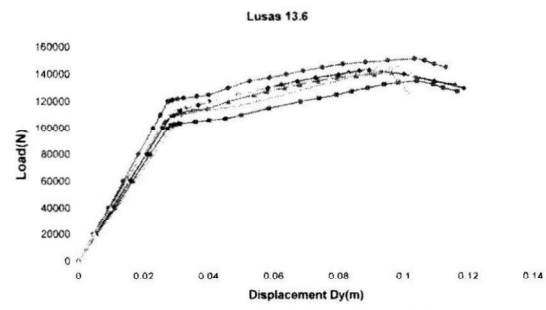
در شکل ۱۵ کانتور خیز جانبی مربوط به اولین مرحله بارگذاری که بار وارد برابر ۲۰۰۰ نیوتن برمتر است، نشان داده شده است. طبق این شکل در مراحل اولیه بارگذاری، تمامی پانلهای دارای تغییر شکل‌های مشابهی هستند. شایان ذکر است که برای بزرگنمایی بهتر در تمام شکل‌های این بخش به علت وجود تقارن نسبت به وسط دهانه تیر، فقط نصف دهانه مورد بررسی قرار گرفته است.

بار (ظرفیت فرآکمانشی) به صورت چند خطی در می آید. تا اینکه تقریباً بعد از بار فرآکمانشی، با افزایش اندکی که در بار بوجود می آید، جابجایی قابل توجهی رخ می دهد.

در شکل‌های ۱۲ و ۱۳، نمودار بار- تغییر مکان قائم، تیرورورقهای با نسبت لاغری ۲۵۰ رسم شده است. این نمودارها در ابتدا به صورت خطی بوده و با افزایش مقدار بار، تفاوت تغییر مکان با شبی ثابتی روی می دهد و محدود است.



شکل ۱۲: نمودار بار- تغییر مکان قائم برای تیرورورقهای دارای ۱۰ cm ترک



شکل ۱۳: نمودار بار- تغییر مکان قائم برای تیرورورقهای دارای ۳۰ cm ترک

در این نمودارها نیز مانند نمودارهای مربوط به نمونه های با نسبت لاغری ۲۵۰، بعد از رسیدن بار به حد تسلیم، با افزایش اندکی که در بار وارد میشود، تغییر مکان قائم نمونه ها افزایش قابل توجهی را دارد.

با توجه به این نمودارها و بارهای نهایی قابل تحمل برای نمونه ها، حداقل افت ظرفیت خمشی نهایی در نمونه دارای ترک ۳۰ سانتیمتری در جوش بال فشاری به جان تیرورورق در پانل دوم اتفاق می افتد و ترک بوجود آمده در این مدل باعث افت ۱۰/۷۴ درصدی مقاومت خمشی نهایی تیرورورق می شود. با توجه به این نمودارها، معلوم میشود که وجود ترک در جوش بال کششی به جان تیرورورق تأثیر کمتری نسبت به بروز ترک در جوش بال فشاری به جان آنرا دارد.

مختلف، مورد بررسی قرار میدهیم. ابتدا ظرفیت کمانشی و فراکمانشی تیپورقهای با نسبت لاغری ۲۵۰ را از طریق روابط تئوری آین نامه LRFD، محاسبه می نماییم.

$$k = \sigma + \frac{\sigma}{\left(\frac{a}{h}\right)^2} = 14 / 28$$

$$155 \cdot \sqrt{\frac{k}{F_y}} = 155 \cdot \sqrt{\frac{14 / 28}{275}} = 112$$

$$194 \cdot \sqrt{\frac{h}{F_y}} = 194 \cdot \sqrt{\frac{14 / 28}{275}} = 14 \Rightarrow 250 > 14.$$

$$C_V = \frac{3032800 \times k}{\left(\frac{h}{t_w}\right)^2 \times F_{yw}} = \frac{3032800 \times 14 / 28}{(25.2)^2 \times 275} = 0 / 2528$$

$$\text{اگر } \frac{h}{t_w} > 155 \text{ باشد، رابطه (2) برقرار خواهد بود.}$$

$$(2)$$

$$V_n = 0.6 \times A_w \times F_{yw} \times \left[C_V + \frac{1 - C_V}{1 / 15 \times \sqrt{1 + \left(\frac{a}{h}\right)^2}} \right]$$

در رابطه (2) جمله اول نشانده‌نده مقاومت برشی کمانشی و عبارت دوم نشانده‌نده مقاومت برشی فراکمانشی است. بنابراین ظرفیت کمانشی برابر:

$$V_n = 0.6 \times 100 \times 0.4 \times 275 \times 0.2528 = 16750 / 8 \text{ kg}$$

$$q = \frac{V_n \times 2}{L} = \frac{16750 \times 2}{10} = 3350 \frac{\text{kg}}{\text{m}} \Rightarrow q = 32863 / 5 \frac{\text{N}}{\text{m}}$$

و ظرفیت فراکمانشی نیز از رابطه :

$$V_n = 0.6 \times 100 \times 0.4 \times 275 \times \left[\frac{1 - 0 / 2528}{1 / 15 \times \sqrt{1 + (0 / 28)^2}} \right]$$

$$V_n = 34519 / 5 \text{ kg}$$

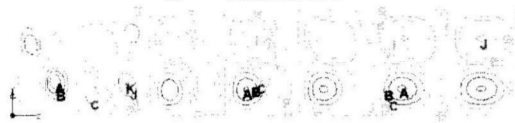
به دست می آید.

با توجه به مقادیر به دست آمده برای ظرفیتهای کمانشی و فراکمانشی محاسبه شده، بارفراکمانشی نهانی حاصله از روابط تئوری به صورت زیر خواهد بود:

$$67864 / 6 + 32863 = 100227 / 6 N/m$$

با توجه به نتایج بدست آمده از تحلیل مدلها و همچنین نتایج به دست آمده برای بارهای کمانشی و فراکمانشی حاصله از طریق روابط تئوری موجود در آین نامه برای تیپورقهای، با نسبت لاغری ۲۵۰ ملاحظه می‌گردد که وجود ترک در طولها و موقعیتهای مختلف، تاثیر

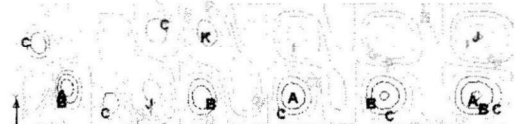
A	-0.3281408E-3
B	-0.2425721E-3
C	-0.1578219E-3
D	-0.102250201E-3
E	-0.067564105E-3
J	0.3580616E-3
K	0.4270650E-3



شکل ۱۵: کانتور خیز جانبی تیپورق با نسبت لاغری ۲۵۰، در حالت بدون ترک تحت اثر بار ۲۰۰۰ نیوتون بر متر

در شکل ۱۶ کانتور خیز جانبی برای مدل ۳۰۱۳_۲۵۰ تحت اثر بار ۲۰۰۰ نیوتون بر متر آورده شده است. از مقایسه این شکل با شکل ۱۶ مشاهده می شود که در مراحل ابتدایی بارگذاری در مدل دارای ترک، محل وقوع خیز جانبی مانکزیم، در محل بروز ترک ایجاد می‌شود. حال آنکه در مدل بدون ترک خیز جانبی مانکزیم در ناحیه تحتانی پانل دوم (کنار تکیه گاه) ایجاد می شود.

A	-0.5124758E-3
B	-0.3602147E-3
C	-0.2235601E-3
D	-0.162259314E-3
E	-0.112282149E-3
F	-0.073467452E-3
G	-0.04726474E-3
H	-0.0323562E-3
I	-0.02340021E-3



شکل ۱۶: کانتور خیز جانبی تیپورق با نسبت لاغری ۲۵۰، در مدل ۳۰۱۳ تحت اثر بار ۲۰۰۰ نیوتون بر متر

۵- ارزیابی نتایج با آین نامه

در این قسمت، با توجه به مشخصات هندسی مدلها که در شکل ۲ نشان داده شده است، بار کمانشی و فراکمانشی تیپورقهای بدون ترک را از طریق روابط ارائه شده در آین نامه LRFD، محاسبه نموده و با نتایج بدست آمده از تحلیل و آنالیز مدلها مورد بررسی، با استفاده از نرم افزار المان محدود LUSAS مقایسه می نماییم. برای مقایسه تاثیر ترک در حاکمیت روابط تئوری برای تیپورقهای، نتایج حاصل از روابط تئوری را با نتایج حاصل از تحلیل مدلهای با ترک ۳۰ سانتیمتری (بحرانی ترین طول ترک در این تحقیق) در موقعیتهای

و ظرفیت فراکمانشی برابر است با:

$$V_n = \frac{1}{\sqrt{2}} \times A_w \times F_y W \times \left[\frac{1 - C_V}{1/15 \times \sqrt{1 + \left(\frac{a}{h} \right)^2}} \right]$$

$$V_n = \frac{1}{\sqrt{2}} \times 100 \times \frac{1}{8} \times 275 \times \left[\frac{1 - 1/196}{1/15 \times \sqrt{1 + (0/23)^2}} \right]$$

$$V_n = 9641 \text{ kg}$$

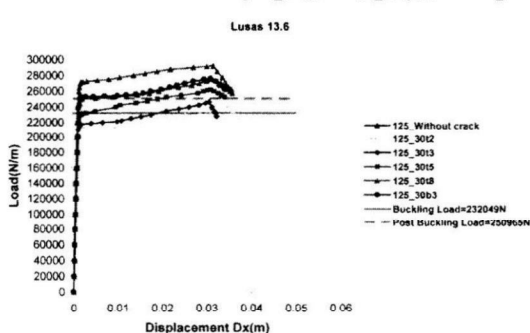
$$q = \frac{2 \times V_n}{L} = \frac{19283}{10} = 1928 \frac{\text{kg}}{\text{m}} = 18916 \frac{\text{N}}{\text{m}}$$

بارنهایی فراکمانشی نیز برابر است با :

$$232.49 + 18916 = 250.956 \frac{\text{N}}{\text{m}}$$

با توجه به شکل ۱۸، مشاهده میشود که در اثر بروز ترک سانتی متری در بانلهای بحرانی (دوم و سوم) در جوش بال فشاری به جان تیپورق، ظرفیت کمانشی و فراکمانشی مدلها کاهش یافته و حتی بارنهایی قابل تحمل برای آنها کمتر از ظرفیت فراکمانشی به دست آمده از روابط تنوری برای تیپورق بدون ترک می باشد. همچنین بروز ترک ۳۰ سانتیمتری در پانل پنجم در جوش بال فشاری به جان تیپورق، باعث کاهش ظرفیت فراکمانشی آن نسبت به ظرفیت به دست آمده از روابط تنوری برای مدل بدون ترک میشود.

در این نوع تیپورق بار کمانشی $79/5\%$ بارنهایی و بار فراکمانشی $68/6\%$ بارنهایی را شامل می شوند.

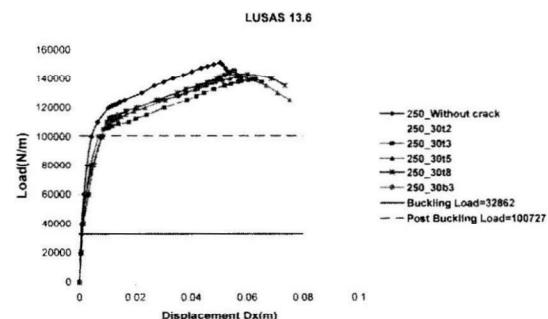


شکل ۱۸ : نمودار- بار تغییر مکان جانبی ، ظرفیت کمانشی و فراکمانشی، برای مدلها با نسبت لاغری $125/5$

۶- خلاصه و نتیجه گیری

از آنجا که امکان بوجود آمدن ترک در اتصالات جوشی به دلایل مختلف فیزیکی و محیطی وجود دارد، برای بررسی تأثیر ترکهای احتمالی بوجود آمده در جوش بال به جان تیپورقها در ظرفیت خمشی نهائی آنها، تعدادی مدل بدون ترک و دارای ترک در نرم افزار المان محدود LUSAS مدلسازی شده و مورد تحلیل غیر خطی هندسی و

زیادی در بارهای کمانشی و فراکمانشی آنها ندارد و فقط موجب کاهش بارنهایی قابل تحمل برای تیپورق میشود.



شکل ۱۷ : نمودار- بار تغییر مکان جانبی ، ظرفیت کمانشی و فراکمانشی، برای مدلها با نسبت لاغری $250/5$

همچنین مشاهده میشود که نتایج حاصله از تحلیل مدلها تطبیق مناسبی با نتایج بدست آمده از روابط تنوری موجود در آین نامه دارد (شکل ۱۷). بار کمانشی در قسمت خطی و بار فراکمانشی در قسمت چند خطی نمودارهای بار- تغییر مکان جانبی مدلها قراردارند. با توجه به نتایج بدست آمده مشخص می شود که برای تیپورق با نسبت لاغری $250/5$ ، بار کمانشی $21/73\%$ بارنهایی و بار فراکمانشی $59/6\%$ درصد بارنهایی را شامل می شوند.

حال به بررسی ظرفیت کمانشی و فراکمانشی تیپورقها با نسبت لاغری $125/5$ می پردازیم.

$$k = 5 + \frac{\Delta}{(\frac{a}{h})^2} = 14/38$$

$$155 \cdot \sqrt{\frac{k}{F_y}} = 155 \cdot \sqrt{\frac{14/38}{275}} = 112$$

$$194 \cdot \sqrt{\frac{h}{F_y}} = 194 \cdot \sqrt{\frac{14/38}{275}} = 14 \Rightarrow 112 \rightarrow 125 \rightarrow 14.$$

$$\Rightarrow C_V = \frac{155 \cdot \sqrt{\frac{(14/38)}{275}}}{h} = \frac{155 \cdot 10/773}{125} = 1/196$$

چون رابطه (۲) در مورد این نوع تیپورق نیز برقرار است بنابراین ظرفیت کمانشی برابر است با:

$$V_n = \frac{1}{\sqrt{2}} \times 100 \times \frac{1}{8} \times 275 \times 1/196 = 114,277 \text{ kg}$$

$$q = \frac{V_n \times r}{L} = \frac{114,277 \times 1}{10} = 22,854 \frac{\text{kg}}{\text{m}} \Rightarrow q = 232.49 \frac{\text{N}}{\text{m}}$$

۷- مراجع :

- [۱] هادی اکبری، پایان نامه کارشناسی ارشد عمران- سازه، تاثیر ترک جوش سخت کننده به جان تیپورقهای در ظرفیت کمانشی و فراکمانشی آنها، دانشگاه آزاد اسلامی مراغه، ۱۳۸۵.
- [۲] شاپور طاحونی ، طراحی سازه های فولادی، انتشارات علم و ادب، چاپ چهارم، ۱۳۸۰، .
- [۳] فرهاد فرهودی محمدزاده، پایان نامه کارشناسی ارشد عمران- سازه، بررسی تاثیر ترک جوش بال به جان تیپورقهای در ظرفیت خمشی نهایی آنها، دانشگاه آزاد اسلامی مراغه، ۱۳۸۶.
- [۴] Corecetti.R., Web breathing of full-scale slender I-girders subjected to combine action of bending and shear, Journal of constructional steel research, 59(2003)271-290.
- [۵] Joem kee Paik, Y.V.Satish Kumar, Jae Myung Lee, Ultimate strength of cracked plate elements under axial compression or tension, Thin-walled structures, 43(2005)237-272.
- [۶] Nicola, Greco, Cross-sectional compactness and bracing requirements for hybrid HPS girders, University of Pittsburgh, 2000.
- [۷] Okura, I., Yen, B.T. & Fisher, J.E., Fatigue of thin walled plategirders, Structural Engineering, 1993, 1:39-44.
- [۸] Roberts, T.M. & Davies A.W., Fatigue induced by plate breathing, Journal of constructional steel research, 58 (2002) 1495–1508.

مصالح قرار گرفتند. در این تحلیلهای، اثر ناکاملی هندسی ورق جان

تیپورق نیز لحاظ گردیده و نتایج زیر به دست آمد:

۱- در این تحقیق، بیشترین افت ظرفیت خمشی تیپورق در مدل ۱۲۵_۳۰t² برابر ۱۸٪ مشاهده شد. در این مدل ترک در پانل دوم (برتکیه گاه) بوجود آمده بود و این امر نشاندهنده آن است که اگر ترک جوش بال به جان تیپورقهای در ناحیه ای نزدیک به تکیه گاه بوجود آید، اثر تخریبی زیادتری دارد. هرقرار که موقعیت ترک به وسط تیپر مستمامیل شود، ضریب کاهش مقاومت خمشی نهایی، کاهش می یابد.

۲- کاهش ظرفیت خمشی نهایی تیپورق تحت اثر ترک در جوش بال به جان آن، با طول ترک نسبت مستقیم دارد.

۳- با افزایش نسبت لاغری تیپورق (نسبت مساحت جان به مساحت بال)، تاثیر ترک در کاهش ظرفیت خمشی نهایی آن، افزایش می یابد.

۴- با توجه به نتایج بدست آمده مشخص شد، متغیر موقعیت ترک نسبت به متغیر طول آن موثرتر و مهمتر می باشد. بطوری که ترک ۱۰ سانتیمتری بوجود آمده در پانل دوم (برتکیه گاه) تیپورق با نسبت لاغری ۲۵٪، موجب کاهش ۷/۸۵ درصدی ظرفیت خمشی نهایی آن میشود. حال آنکه ترک ۳۰ سانتیمتری ایجاد شده در پانل پنجم همین تیپورق باعث افت ۶/۱۹ درصدی ظرفیت خمشی نهایی آن میشود.

۵- وجود ترک در جوش بال فشاری به جان تیپورق، بسیار مهمتر و بحرانی تر از بروز ترک در جوش بال کششی به جان آن می باشد.

۶- با مقایسه نتایج بدست آمده از تحلیل مدلهای مختلف بدون ترک و ترک خورده با استفاده از نرم افزار LUSAS با نتایج حاصل از روابط تئوری مربوط به آیین نامه LRFD ، مشخص شد که در تیپورقهای بانسبت لاغری کمتری، بروز ترک در پانلهای بحرانی و نزدیک تکیه گاه، باعث کاهش ظرفیت کمانشی و بعضی فراکمانشی تیپورق نسبت به حالت بدون ترک میشود. حال آنکه در تیپورقهای لاغر که نسبت لاغری آنها بیشتر است، وجود ترک تغییری در ظرفیت کمانشی و فراکمانشی تیپورق ایجاد نمیکند و فقط باعث افت بار نهایی قابل تحمل برای آن میشود.

۷- با توجه به نمودارهای بار - تغییر مکان قائم، ملاحظه میگردد که شیب قسمت خطی در این نمودارها برای مدلهای ترک خورده و بدون ترک متفاوت می باشد. اما در نمودارهای بار - خیز جانی در قسمت خطی تفاوت فاحشی در اکثر نمونه ها دیده نمی شود و این تفاوت اغلب در قسمتهای چند خطی که مربوط به ظرفیت فراکمانشی تیپورقهای هستند، مشاهده میشود. این امر نشان می دهد که برای تشخیص وجود ترک، کنترل و مقایسه نمودارهای بار - خیز قائم، موثرتر میباشد.

Ultimate Flexural Strength of Plate Girders Under the Effect of Weld Crack in Flange Toe

Farhad Farhoodi Mohammadzade

Postgraduate Student

f_abi2004@yahoo.com

Hossein Showkati

Associate Professor, Urmia University

h.showkati@urmia.ac.ir

Norooz Seifi

Postgraduate Student

n_seifi2003@yahoo.com

Abstract:

The plate girders are used in important structural systems. The earlier design of plate girders was restricted to their critical buckling capacity. Experimental and theoretical studies show the plate girders with vertical stiffeners can carry load over than their critical buckling loads and then in modern design codes is permitted to use post-buckling capacity of them. In this case the out-of-plane bending stresses is associated in web panel and then some fatigue cracks may appear under the effect of cyclic loading. In this paper the influence of cracks in weld toe of flange is investigated using nonlinear finite element analysis of the models of vertically stiffened plate girders. The ultimate bending capacity of beams is estimated using the well known finite element code of LUSAS. The effect of crack length, ratio of web slenderness and crack location are investigated in this study. The ultimate capacity of such plate girders is calculated under initial geometric imperfections. The obtained results in this study show that cracks with length of 30cm can reduce maximum 18% in ultimate bending capacity. Also the results are compared with the recommendations of the the modern design code of AISC-LRFD.

Keywords:

Plate girder, Crack, Weld, Web, Flange, Flexural strength